

XXV

UNIVERSIDAD NACIONAL AUTONOMA DE MEXICO
FACULTAD DE CIENCIAS



**OBTENCION Y PURIFICACION PARCIAL DE UNA
PROTEINA DIFERENCIADORA DE CELULAS MIE-
LOIDES, PROVENIENTE DE LINEAS LEUCEMICAS
MIELOIDES.**

T B S I S

**QUE PARA OBTENER EL TITULO DE
B I O L O G O
P R E S E N T A**

JUAN JOSE CONSEJO DUEÑAS

MEXICO, D. F.

JULIO DE 1980



UNAM – Dirección General de Bibliotecas

Tesis Digitales
Restricciones de uso

DERECHOS RESERVADOS ©
PROHIBIDA SU REPRODUCCIÓN TOTAL O PARCIAL

Todo el material contenido en esta tesis está protegido por la Ley Federal del Derecho de Autor (LFDA) de los Estados Unidos Mexicanos (Méjico).

El uso de imágenes, fragmentos de videos, y demás material que sea objeto de protección de los derechos de autor, será exclusivamente para fines educativos e informativos y deberá citar la fuente donde la obtuvo mencionando el autor o autores. Cualquier uso distinto como el lucro, reproducción, edición o modificación, será perseguido y sancionado por el respectivo titular de los Derechos de Autor.

TESIS CON FALLA DE ORIGEN

C O N T E N I D O

- UNO RESUMEN
- DOS ANTECEDENTES
- TRES OBJETIVOS
- CUATRO MATERIALES Y MÉTODOS
- CINCO RESULTADOS
- SEIS DISCUSIÓN
- SIETE REFERENCIAS
- OCHO AGRADECIMIENTOS

Este trabajo se propuso determinar las condiciones óptimas de producción de una proteína diferenciadora de células mieloides producida por líneas de células leucémicas mieloides de ratón mediante la incubación con endotoxinas, así como la parcial purificación de la misma.

La proteína mencionada forma parte de un grupo de sustancias conocidas como MCI (Macrophage and Granulocyte Inducers) & CSF (Colony Stimulating Factors), las cuales promueven la formación de macrófagos y granulocitos *in vitro*, en cultivos de células de médula ósea y se cree que actúan como reguladores de la hemostopoyesis *in vivo* en muchos animales, inclusive el hombre.

Para la obtención de la proteína se mantuvieron cultivos masivos de las líneas leucémicas mieloides de ratón J774 y SR10W.1, aplicando en docenas variables un lipopolisacárido de Salmonella typhosa (LPS) para provocar o aumentar la producción de MCI. La línea más efectiva fue la SR10W.1 y la concentración óptima de LPS de 10 mcg/ml.

Para la purificación de MCI se utilizó difusión, precipitación con sulfato de amonio, cromatografía en DEAE-Sephadex, filtración en ultracentrifugación y ultracentrifugación en gradientes de sacarosa. Se determinó el peso molecular por los métodos independientes de filtración en ultracentrifugación y ultracentrifugación, obteniendo pesos moleculares de 36 000 y 74 000 daltones respectivamente.

Como se ve, las líneas leucémicas pueden ser utilizadas para una eficiente producción de MGII incubandolas con LP3. Esta producción puede ser realizada en forma masiva, tanto para profundizar en el estudio de la estructura y función de MGII como para su posible aplicación terapéutica en las neoplasias.

INTRODUCCION. Uno de los mecanismos más importantes para el funcionamiento normal de los organismos multicelulares consiste en la regulación del crecimiento y la diferenciación de sus células, de modo que estas dejen de multiplicarse -- cuando su número es adecuado -- y se diferencien para realizar sus funciones específicas. Este mecanismo falla en la carcinogénesis, con la consiguiente formación de un número desproporcionado de células innecesarias, llamadas malígnas o neoplásicas.

El estudio de los fenómenos que ocurren durante la neoplasia ha sido estudiado durante largo tiempo, si embargo, la comprensión completa de esta enfermedad requiere necesariamente del conocimiento detallado del mecanismo de crecimiento y diferenciación celular, tanto de células normales como neoplásicas. Uno de los procedimientos más útiles en este campo ha sido el cultivo de células normales y tumorales *in vitro* (1,3). Con este fin se han desarrollado varias técnicas de cultivo en agar y cultivo masivo (3,4,5).

CULTIVO DE CELULAS. Al cultivo de células no organizadas -- en tejidos se le conoce como cultivo primario. Se denomina subcultivo a la obtención de células en suspensión y su colocación en medio fresco (en un proceso llamado transmisión ó pasaje). Así, se puede mantener un cultivo por un tiempo-

que depende del tipo celular y de las condiciones de cultivo, conociéndose al cultivo en esta etapa como línea celular primaria. Si esta línea adquiere la capacidad de crecer indefinidamente, se le denomina línea celular establecida, usualmente después de un mínimo de 70 subcultivos, con intervalos de 3 días entre cada uno (1).

La transformación entre líneas celulares primarias y líneas celulares establecidas es usualmente paulatina. Otras veces es un fenómeno abrupto, conocido como alteración o transformación celular (12). Este cambio acarrea una variación del número cromosómico, una reducción en los tiempos de duplicación y un crecimiento a densidades mayores (1, 12, 20).

Las líneas celulares establecidas presentan un patrón de crecimiento parecido al de microorganismos. Cuando las células se toman de un cultivo estacionario se presenta primero una fase de retraso (lag phase). A esta le sigue una fase logarítmica, y si no se renueva el medio de cultivo, la población alcanza una fase estacionaria (1,25,34) Ver figura 1

La fórmula que describe la parte logarítmica de la curva de crecimiento es: $Nt = N_0(e)^{rt}$ donde;

N_t es el número de células al tiempo t

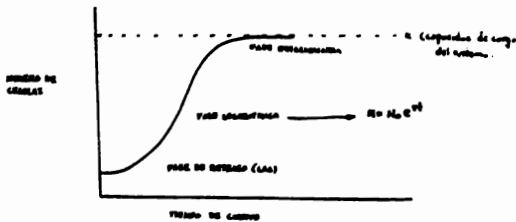
N_0 es el número inicial de células

e es la base de los logaritmos naturales

t es el tiempo de cultivo

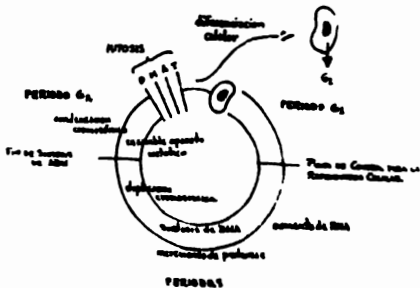
r es una constante que representa la tasa de crecimiento.

graphics 2-1



CINÉTICA DE CRECIMIENTO DE UNA LÍNEA CELULAR ESTABLECIDA EN CULTIVO MASIVO.

grafia 2-2



ESQUEMA DEL CICLO CELULAR DE CELULAS EMBRIONARIAS

Abbreviations: Pe profase
Me metaphase
An anaphase
Te telophase

CICLO CELULAR EN CELULAS EN CULTIVO. En la gráfica 2.2 se describe el ciclo de la mayor parte de las células eucariotas - y es aplicable a las líneas celulares establecidas. Siguiendo a la mitosis (M), se presenta una etapa de crecimiento (G₁), después una fase de síntesis (S) y finalmente una segunda -- etapa de crecimiento (G₂). En el caso de la diferenciación normal, las células se detienen en la etapa G₁ (2,4).

INTERACCION, GENOTIPICA Y METABOLISMO DE CELULAS EN CULTIVO. - Además de la inhibición por contacto en muchas células, por ejemplo fibroblastos, las células en cultivo presentan fenómenos de reconocimiento y adherencia. También se verifican fenómenos inductivos, tanto homotípicos como heterotípicos. (1).

Aparentemente, el cariotipo se mantiene estable en líneas celulares primarias, pero se modifica en número y morfología cromosómica en las líneas establecidas (1,2^a,37). A veces se presentan mutantes en los cultivos (20,21).

El metabolismo de células en cultivo es en general similar al de las células *in situ* en animales (2,6). En éstas, los caminos energéticos más importantes en el metabolismo de carbohidratos son la glicólisis y el ciclo de Krebs, y son fundamentalmente iguales en células en cultivo. En ocasiones estas células presentan un aumento de ácido láctico y ácidos céticos en el medio (1). Se presenta también un marcado efecto Pantothen (37).

Dentro del metabolismo de proteínas, se conocen unos ——

12 aminoácidos esenciales(2). Los restantes se sintetizan por transaminación, desaminación hidrolítica o desaminación oxidativa. Algunas células no pueden usar proteínas en el medio, por falta de enzimas proteolíticas (4). La síntesis de lípidos la realizan las células a partir de precursores sencillos, como el acetato (2). Lo mismo sucede con los ácidos nucleicos, aunque si estos se proveen en el medio son usados preferencialmente (1,4).

AMBIENTE Y MEDIOS DE CULTIVO DE LAS CELULAS. A continuación se describen los principales factores ambientales que afectan a los cultivos celulares (1,4).

- 1- Temperatura. Se usa una temperatura de entre 37 y 38. $^{\circ}$ C. para células de mamíferos. Hay una supervivencia por encima de este valor, pero por debajo de él las células resisten mejor. Si se les añade un aislante protector pueden sobrevivir a temperaturas muy bajas por tiempo indefinido.
- 2- Presión Fisiótica. A 100 $^{\circ}$ C., entre 1 y 1 atm. Están determinada básicamente por sales y secundariamente por moléculas como la glucosa. Las células parecen resistir bien cambios del orden del 10%, sobre todo si son lentas.
- 3- pH. Se utiliza cerca de la neutralidad. El rango de supervivencia es entre 6.6 y 7.0. El óptimo se sitúa entre 7.2 y 7.4.
- 4- Iones inorgánicos. Además de los involucrados en la presión osmótica y el pH, mencionan: Na $^{+}$; Cl $^{-}$; Ca $^{2+}$; Mg $^{2+}$; Fe $^{2+}$; Co $^{2+}$; Mn $^{2+}$.

5- Metabolitos. a) Esenciales; carbohidratos, gases disueltos, aminoácidos, vitaminas, proteínas, péptidos. b) Suplementarios; aminoácidos, vitaminas, coenzimas nucleótidos, - péptidos, metabolitos intermedios.

6- Hormonas y otros factores específicos.

7- Matriz de crecimiento. Los sustratos son bidimensionales o bien hay crecimiento en suspensión, ya que en células in-vitro no hay fuerzas de orientación.

Los medios de cultivo proveen las condiciones físicas - para las células, como pH, presión osmótica, etc. Además proporcionan las sustancias químicas requeridas por las células y que éstas no pueden sintetizar. Existen medios naturales, como suero, plasma, colágeno y otros extractos de tejidos.- Existen además medios artificiales o definidos, que son más fáciles en estudios analíticos y que se pueden clasificar, según su función.

1- Medios esenciales para supervivencia inmediata.

2- Medios esenciales para crecimiento indefinido.

3- Medios esenciales para supervivencia prolongada.

4- Medios esenciales para funciones especiales.

En el cultivo de líneas celulares es usual la combinación de medios sintéticos con medios naturales, por ejemplo medios esenciales adicionados con suero en proporciones variables. - En la literatura existen multitud de estudios relacionados - con medios de cultivo (1, 5, 34.).

CULTIVO DE LINEAS LEUCÍMICAS CON PROPIEDADES DE MACROFAGOS.

Recientemente se ha logrado el cultivo de líneas leucémicas in vitro, tanto en medios de cultivo sencillo como en medios - semisólidos(4,20). Muchas de éstas líneas se asemejan a macrófagos en su morfología y fisiología.

Los macrófagos se clasifican con base en sus actividades más que en relación a su origen celular. En condiciones normales se localizan en hígado, nódulos, exudados peritoneales, y médula ósea. Las características de éntas células son la adhesión y la fagocitosis, además de que actúan no específicamente en la respuesta inmune (38). Desde este punto de vista su función es; a) actuar como intermediarios para el procesamiento inmunológico de antígenos particulares, b) actuar como células efectoras en procesos de inmunidad mediada por células, y c) actuar como blancos de productos crisiñados - en células linfoides interactuantes. (20).

Las líneas celulares de tipo macrófago difieren en forma variada de los macrófagos - normales. Como en el caso de otras líneas citotíesicas, tienen altos índices de duplicación y un número cromosomal alterado (37). El grado de diferenciación que presentan es variable. A continuación se muestran algunos de las características de líneas con propiedades macrofágas. (Tabla 1):

TABLA 1 PROPIEDADES GENERALES DE LINEAS TIPO MACROFAGO (2)

| Lineas | procedencia | etiología | lysosina(a) | Fagocitosis (b) | MGI (c) |
|---------|-------------|-----------|-------------|-----------------|---------|
| P388D1 | DNA/2 | Acarito | ++ | | + |
| J774 | C | Acarito | ++ | + | + |
| PUS-1.8 | C | Exp (d) | ++ | + | + |
| RAW264 | CXC.B | Viral | ++ | + | + |
| WR19M | C | Viral | ++ | + | E.P.(e) |

a Síntesis de lisozima y secreción predominante (52)

b Fagocitosis de Zimesan y Látex. (52)

c Constitutivo inducido con endotoxinas.

d Espontáneas.

e No probada anteriormente.

f Segundo referencia (3).

FUENTES INDUCTORAS DE LA DIFERENCIACION CELULAR. En el estudio de la hematopoyesis se ha investigado con amplitud la formación de colonias de granulocitos y/o macrófagos - a partir de tejidos hematopoyéticos de mamíferos en agar - α medio semisólido (3,7,8,39). Estas células requieren la presencia de una sustancia inductora conocida en la literatura como Colony Stimulating Factor, (CSF) (9,10,11,24, 46), Colony Stimulating Activity, (CSA) (8,31,33), Macrophage and Granulocyte Inducer (MGI) (15,18,19) y que probablemente tiene relación estrecha con el llamado Macrophage Growth Factor, MGF (24). Esta sustancia inductora, que en adelante llamaremos MGI, es indispensable para la diferenciación *in vitro*, y se cree que juegan el papel de regulador fisiológico *in vivo*, tanto en animales como en el hombre (8).

PRODUCCION DE MGI. Las diferentes fuentes de MGIs se sumarizan en la tabla 2. Se ha utilizado frecuentemente medio condicionado de fibroblastos embrionarios (42), explantes -- primario de tejidos (8,21,39), o líneas celulares establecidas (33). En general los fibroblastos, como células primarias o como líneas celulares establecidas, proveen las mejores y más convenientes fuentes de MGI en medios condicionados (24). Se han realizado "extracciones" directas en muchos tejidos de ratón para revelar actividad de MGI endógena, entre ellos: tiso, médula ósea, bazo, hígado, pulmón, cerebro testículos.(42), encontrando actividad diferenciadora marginal o no encontrando ninguna en absoluto. En con-

TABLA 2. FUENTES DE OBTENCIÓN DE MGII

| MEDIO CULTIVADO | EXTRACTOS TISSUARES | OTRAS FUENTES |
|---|-------------------------|--------------------------------|
| Fibroblastos embrionales (L1) | Glándula salival (42) | Suero normal (44) |
| Fibroblastos transformados por SV40 (33,41) | Risón adulto (9,45) | Suero con endotoxinas (26, 46) |
| Fibroblastos transformados espontáneos | Bazo (42) | Suero leucémico (44) |
| Células de riñón (24) | Útero právido (27) | Orina humana (23) |
| Pulmón de ratones (24) | Pulmón (42) | Orina murina (45) |
| Leucocitos mitógeno-estimulados (9) | Membrana fetal (24) | |
| Leucocitos de sangre periférica (24) | Fluido ascítico (24) | |
| Vacúfagos peritoneales (8) | Víudado peritoneal (24) | |
| Células 3T3 (24) | | |
| Células L (24) | | |
| Placenta humana | | |
| Células de bazo de ratón - mitógeno-estimuladas | | |
| Células tumorales monocíticas humanas (27,33) | | |
| Células tumorales monocíticas murinas (34) | | |
| Células tumorales -ielomonocíticas | | |

traste, Sheridan et al (9,11) encontraron cantidades extraíbles de MGI en glándula submaxilar de ratones machos, pulmón, timo, riñon, nódulos linfáticos, páncreas y médula ósea; pero encontraron fuentes pobres de MGI en cerebro, corazón, intestino delgado, testículos, músculo esquelético, sangre entera y suero normal. Bradley et al (42), mostraron que el pulmón, útero, placenta, membranas fetales, músculo esquelético, corazón y vejiga, mostraban niveles altos de MGI mientras que cerebro, glándula salival, hígado, riñón adulto, testículos, piel, timo, bazo o glándulas adrenales casi no tenían actividad diferenciadora.

El suero de ratones ha mostrado actividad diferenciadora bajo ciertas condiciones (43). También se ha demostrado la presencia de MGI en suero humano, tanto en individuos normales como leucémicos (44). Otra fuente potente de MGI es la orina de ratón (45) y la humana (23). Esta última ha sido usada para la estimulación de cultivos de médula ósea de ratón. También los leucocitos de sangre periférica pueden producir MGI (30,31).

Otra fuente importante de MGI desarrollada últimamente es el medio condicionado proveniente de líneas celulares tumorales humanas (27) y murinas (33). La tabla 3 muestra la producción de MGI por varias de estas líneas.

Una de las fuentes más importantes de MGI resulta de la activación con endotoxinas de tejidos o células (26, - 46). Esto es el caso de suero de ratón (26), rataones (11), células peritoneales (8), linfocitos (9). Entre las endotoxinas se encuentran los lipopolisacáridos de bacterias Gram-negativas. La inyección de este conocida

**TABLA 3 PRODUCCIÓN EXPOSTÁNEA E INDUCIDA DE NGF POR
LÍNEAS CELULARES TEMPORALES (a)**

| Línea Celular | Producción de NGF Exponencial (b) | Producción de NGF con LPS (c) |
|-------------------------------|--------------------------------------|----------------------------------|
| Mielomacrocíticas | | |
| WEHI-3 | 121 ± 8 | 10 |
| Macrófagos | | |
| P35-1.8 | 0 | 95 |
| P388D1 | 0 | 78 |
| J774 | 0 | 56 |
| RAW264 | 0 | 6 |
| Mastocitomas | | |
| P815 | 0 | 0 |
| Mesotelomas | | |
| BAL/TKMa201 | 68 ± 4 | - |
| Fibrosarcomas | | |
| L929 | 96 ± 2 | - |
| Fibroblastos medulares | | |
| JL5V9 | 160 ± 11 | - |
| JL5V9-MLV | 170 ± 7 | - |
| Linfomas-T | | |
| EL4 | 0 | 0 |
| S49 | 0 | 0 |
| RBL-5 | 0 | 0 |
| P1798 | 0 | 0 |
| P22.RG-2 | 0 | 0 |
| RALEWFL5 | 0 | 0 |
| EW5147 | 0 | 0 |

CONTINUA

TABLA 3 CONTINUACION

| Línea Celular | Producción de MGI Exponente (b) | Producción de MGI con LPS (c) |
|-----------------|------------------------------------|----------------------------------|
| Mielomas | | |
| PG | 0 | 0 |
| MoPG315 | 0 | 0 |
| Linfomas | | |
| EL-3 | 140 ± 16 | 126 |
| L1210 | 24 ± 2 | 92 |
| RS | 0 | 57 |
| RAW509-1 | 0 | 0 |
| C1498 | 0 | 0 |
| ANPL1 | 0 | 0 |
| ANPL2 | 0 | 0 |

a Segun Ralph, Bronxmeyer, Malcolm, Moore, Nakoinz (33)

b Coloniaes por 7.5×10^4 células de médula ósea de ratón estimadas por .1 ml de sobrenadante de las líneas celulares en 1 ml de cultivos en agar. Los cultivos de líneas celulares fueron iniciados con 2×10^3 células/ml, colectando los sobrenadantes cuando los cultivos alcanzaban 10^6 células/ml. El número de colonias es la media más/menos el error standard.

c 1 mcg/ml de LPS, incubado con las líneas celulares por 3 días. La solución control con endotoxina no tuvo efecto sobre las células de médula ósea.

como LPS produce una amplia variedad de efectos farmacológicos y tóxicos en muchos tejidos y son de interés ya que semejan cambios ocurridos durante ciertas infecciones bacterianas (17), además de evocar la producción de anticuerpos específicos (37).

Los estudios químicos de LPS derivados de Salmonella, - Escherichia y Shigella entre otros, han proporcionado la estructura detallada de estos compuestos, revelando la posesión de una región polisacárida formada con los antígenos O-específicos y el "núcleo" y una región lipídica llamada - lípido A. (53).

Los granulocitos neutrófilos y monocitos están involucrados en la resistencia contra infecciones, y en consecuencia se han hecho estudios sobre el efecto de la endotoxina en - el nivel y actividad proliferativa de las poblaciones precursoras de granulocitos y macrófagos, y se ha visto que producen una elevación en los niveles de MCI (10,17).

Además de la elevación de los niveles de MCI por inyección de LPS, se ha encontrado una elevación similar en los cultivos in vitro (8,9,10). En líneas leucémicas -ieloides, la incubación con LPS induce la diferenciación de éstas células hacia granulocitos, diferenciación que va acompañada de una secreción elevada de MCI (72,33). En la tabla 3 se muestra el efecto de la incubación de líneas tumorales con LPS sobre su producción de MCI.

PURIFICACION Y CARACTERIZACION DE MCI. Este factor ha sido parcialmente purificado y caracterizado para muchas de las fuentes antes descritas. Sin embargo el proceso de purifica-

ción de la molécula ha presentado dificultades debido a una aparente heterogeneidad en peso molecular y propiedades químicas (2,27,28,29). Se ha señalado que es posible que se requieran diferentes MGIs para la formación de varias subpopulaciones de células hematopoyéticas, existiendo por una parte aquellas que tienen una respuesta aritmética con respecto a la dosis y que promueven la formación de colonias de macrófagos y otras con una respuesta logarítmica, estimulando el crecimiento de granulocitos neutrófilos y macrófagos (29). Sin embargo, se ha sugerido recientemente (44) que en realidad el estimulador es único y que la diferente respuesta está en función de la dosis.

METODOS DE PURIFICACION. Se han utilizado procedimientos de diáfiltración, liofilización y evaporación en vacío sin pérdida aparente de actividad del MGI (23,31). Se ha encontrado incluso (29) que la respuesta del medio condicionado aumenta después de la diáfiltración debido a la eliminación de sustancias inhibitorias.

La filtración con geles ha sido usada tanto para caracterizar como para purificar medios condicionados conteniendo MGI (21,23,27,28,29,31,43). La cromatografía de intercambio iónico ha demostrado también su utilidad para la purificación de MGI (23,29,31,47) aunque el pico de actividad biológica tiende a ser amplio y la ransancia de actividad baja (29).

Casi todos los estudios, con diversas técnicas, revelan la presencia de varias proteínas diferenciadoras, con pesos

moleculares muy distintos, variando desde los muy bajos, de 1300 Daltonas (49) y 5'000 (23) hasta pesos mayores de 100 000 Daltonas (21,51).

Motoyoshi et al (23), purificaron MGI de orina humana con un peso molecular enzimático de 60 000 a 45 000 Daltonas. Landau y Recha (41) han purificado MGI de una línea clonada de fibroblastos de ratón, siendo el peso molecular de su material de 70 000 Daltonas. Un peso de 75 000 Daltonas fue obtenido por Watson y Pichard (50) a partir de la línea tumoral JLS-V5. Por su parte, Burgess (47) ha purificado medio de pulmón de ratón con un peso resultante de 30 000 Daltonas. Pojo (51), utilizando medio condicionado de pulmón humano - reporta después de la filtración con Bentadex dos pesos --- distintos, de 200 000 Dalton y de 40 000 Daltonas.

Hay que aclarar que los altos pesos moleculares que algunos autores reportan pueden deberse a que dichos valores se han obtenido a partir de la filtración con geles, dando como resultado preparaciones impuras que parecen estar unidas no covalentemente a proteínas contaminantes (29) lo que conduce a una elevación enzimática de 1 peso molecular.

Las propiedades nutritivas de los purificados comerciales - también parecer ser diferentes (23,29,26,31). Estas diferencias pueden deberse tanto a diferencias funcionales como a condiciones inadequadas de cultivo (29).

PROTEÍNA VITAMINICA. La actividad de las sustancias nutritivas del filtrado del MGI es debida a una proteína vitamínica tipo el acto. La actividad es de tipo liposoluble, y es tur-

ma más general para la comprensión de los procesos de la regulación de la diferenciación celular.

Uno de los aspectos más importantes en estos estudios es la posibilidad de comprender y controlar las alteraciones que sufren las células en la carcinogénesis. En experimentos realizados con leucemia de ratón, en una línea de células mieloblásticas mantenida en cultivo, se encontraron dos tipos de clones (18). Uno de ellos pudo ser inducido a la diferenciación normal con MGI, mientras que el otro no pudo ser inducido a diferenciarse. Ambos clones eran leucémicos en ratón. El clón que sí podía ser inducido a diferenciarse daba colonias de macrófagos y granulocitos, tanto en cultivos semisólidos como en cultivos masivos (7). Los granulocitos consistían en células en todas las etapas de diferenciación hacia granulocitos neutrófilos. Como en el caso de la diferenciación de células normales, los macrófagos y granulocitos dejaban de reproducirse. Se aprecia que el MGI puede ser utilizado en el tratamiento de ciertas leucemias, ya sea por inyección del mismo o incrementando su fuente en forma con endotoxinas. (46).

Se ha demostrado también que las líneas leucémicas in vitro producen en ciertas condiciones cantidades apreciables de MOI (33). Es de destacar que esta producción se sirve tanto para el estudio de la molécula como para su posible aplicación terapéutica.

Según se ha descrito en los antecedentes, las líneas -- leucémicas pueden producir MGI bajo ciertas condiciones, - entre las que destacan la estimulación con lipopolisacáridos. Sobre estas bases se plantean para este trabajo los - siguientes objetivos:

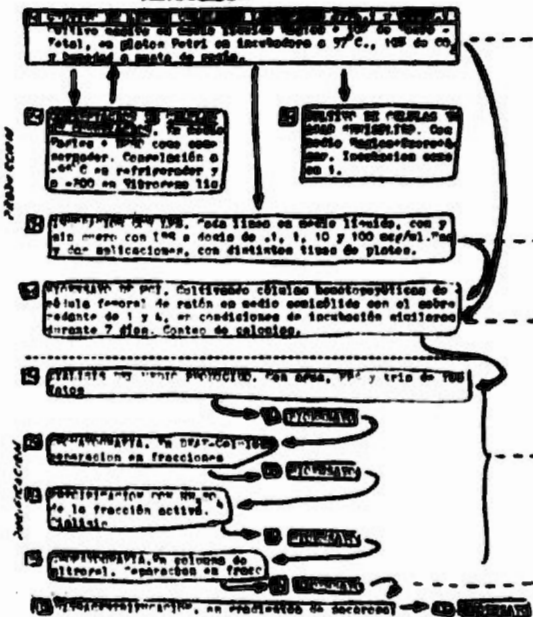
- A) Determinar las condiciones óptimas de producción de -- MGI por líneas leucémicas mieloides de ratón incubándolas con lipopolisacáridos de Salmonella typhosa.
- B) Purificación y caracterización del MGI producido según las condiciones óptimas.

CUATRO . MATERIALES Y MÉTODOS

Para el cumplimiento de los objetivos planteados en este trabajo, se elaboraron los siguientes pasos metodológicos (ver también tabla p28):

- 1- Mantenimiento de las líneas J774 y VR19K.1 en cultivo seativo y en agar semidílico en condiciones adépticas y almacenaje de las células en congelación.
- 2- Determinación de condiciones óptimas de brote cló� de MCI incluyendo línea más eficiente, dosis óptima de LPS, condiciones y recipientes de incubación, concentración de celular. Cuantificación de MCI por bioensayos en células de médula ósea de ratón.
- 3- Aislamiento y purificación del material producido en condiciones óptimas por medio de dialisis, concentración con sulfato de amonio, cromatografía de intercambio iónico, ultrafiltración y ultracentrifugación en gradientes de sacarosa. Determinación del peso molecular de la proteína inductora.

WYDZIAŁ MATERIAŁÓW I PRzemYSŁA I GOSzT



CONTENTS

- Naturales y animales de bien o servicio
 - Declaración de una gran variedad de mercancías

- Determinación del efecto de 40 días de 10% sobre
los bienes y su consumo

4. Diferencias de condensación y calor de vaporización de los componentes líquidos, dura de 192, tipo gráfico, tiempo y condensación de vaporizaciones, etc.

- Pablocam, comitato da me

- 6.- Determinación de los Materiales por fumarato y
por extracción de Sulfonamidas.**

CELULAS. Se utilizaron 2 líneas de células leucémicas; la línea WR19N.1 mieloide, de etiología viral, fagocítica y secretora de lisozima (33,52), proporcionada por el Dr. — Jay Unkeless, de Rockefeller Univ. N.Y. Y la línea J774, mieloide, transformada por aceite, fagocítica, secretora de lisozima, sin actividad exponencial de MGT pero con actividad inducida por LPS (33,52), proporcionada por la Dra. Ora Rosen, del Albert Einstein College of Medicine. N.Y. Ambas líneas se encuentran en el catálogo del Cell Distribution Center, Salk Institute, P.O.Box 1801, San Diego 92112, Cal.

CULTIVO DE CELULAS. Las células se mantuvieron en incubadora a temperatura de 37°C, con humedad constante a punto de rocío y una atmósfera de 10% de CO₂. Se utilizó medio de cultivo Earles (Cat. 2100-470-2100) con NaCO₃, antibióticos (penicilina 100 U/ml, estreptomicina 100 mcg/ml). El medio preparado se ajustaba a un pH de 7.2 y se filtraba estérilmente con filtros Millipore (0.22 micras de diámetro de poro) y se le hacían pruebas de esterilidad. El medio estéril se guardaba en recipientes de vidrio a 2°C. Antes de usarse se calentaba a 37°C. Para cultivo se añadía suero fetal 10% (Fetal Calf Serum, GIBCO) previamente desinfectado (30 minutos a 56°C), almacenado a -20°C y calentado a 37°C antes de mezclarlo.

El trabajo de sembrado se efectuaba en campana estéril de flujo laminar. Los recipientes utilizados eran platos-

petri desechables de 60 X 15 mm. El sembrado se realizaba mediante pipetas, bombillas y cristalería provisamente esterilizadas en autoclave. Se utilizaba un microscopio invertido para observación y determinación del estado de los cultivos.

CULTIVO EN AGAR. Para sembrar en agar se utilizaban cajas petri de vidrio (pyrex 60 X 15 mm). Se sembraban 5 ml de medio en las siguientes proporciones;

suero fetal.....1 ml
medio eagles + células..2
agar al 2.5%.....1
medio eagles doble.....1

El agar se solubilizaba y esterilizaba en autoclave, manteniéndose a 50°C. hasta usarse. Se mezclaba el medio doble con el suero, se añadía agar y finalmente el medio con células a una concentración de plato de 10^5 células. Se sembraba dejando gelificar 20 minutos y se guardaba en incubadora en las mismas condiciones del cultivo masivo.

DETERMINACION DE CURVAS DE CRECIMIENTO DE LAS LINEAS LEUCÉMICAS. Se sembraron diez cajas petri desechables de 60 X 15 mm a una concentración de 5×10^4 células leucémicas/ml. Se tomaron dos cajas cada 24 hs, separando las células de la superficie del plato con ayuda de un raspador, pipeteando varias veces para homogeneizar y contando en hemocitómetro. Este experimento se realizó por lo menos dos veces para cada línea, en platos por duplicado.

CONGELACION. Las células leucémicas se mantenían en congelación dentro de tubos plásticos de 2 ml con 1 ml de medio

Eagles + 10 % de Dimetilsulfóxido (DMSO). En cada tubo se colocaban 10^6 células previamente concentradas por centrifugación. Los tubos se conservaban en refrigerador de ultrabajas temperaturas a -90°C. Para comprobar el estado de las células se descongelaban dos de los tubos a las 24 hs, resuspendiéndose en medio Eagles fresco e incubándolas. Si las células presentaban aspecto y crecimiento normales, el resto de los tubos se pasaba a recipientes de nitrógeno líquido, volviéndose a comprobar su estado a las 24 hs.

DETERMINACION DE CONDICIONES OPTIMAS DE PRODUCCION DE MGI.

Se utilizaron concentraciones de .1, 1, 10 y 100 mcg/ml de Lipopolisacáridos de Salmonella Typhosa (DIFCO) en solución amortiguadora de fosfatos (PBS).

ENSAYO DE MGI. La presencia de MGI se determinó por la producción de colonias de granulocitos y macrófagos a partir de precursores de médula ósea femoral de ratón sembrados en agar, siguiendo este procedimiento:

- 1- Colectar y centrifugar el medio condicionado. Guardar el sobrante a -20°C. hasta el momento de probarse.
- 2- Sacrificar ratones Wistar de 4 a 6 semanas de edad por dislocación cefalo-medular. Desecar y extraer los fémures en forma estéril, colocándolos en PBS
- 3- En la campana estéril limpiar los fémures de tejido circundante, perforarlos en los extremos con jeringa de 1 ml.
- 3- Lavar las células de la médula aplicando PBS por uno de los extremos con la jeringa. Repetir la operación varias veces.

- 5- Centrifugar las células colectadas, resuspender en medio Eagle fresco. Contar las células en hemocitómetro.
- 6- Diluir o concentrar, según sea necesario, hasta obtener una cantidad de células tal que den 10^5 células en la bicapa.
- 7- Sembrar en bicapa; colocar 3 ml por plato en las proporciones detalladas en la parte de cultivo en agar, poniendo la muestra a probar en lugar de medio Eagles con células. Se deja gelificar y se colocan 2 ml de la segunda capa - (suero .2 ml, medio eagles doble .4 ml, agar .4 ml, medio sencillo con células 1 ml.)

CONTROL POSITIVO DE PRUEBAS DE MGI. El control positivo de la sustancia diferenciadora se obtuvo de ratones jóvenes a los que se les aplicó 20 mcg de LPS en .2 ml de PBS por vía intravenosa. Los animales fueron sacrificados cinco horas después, extrayéndoseles los pulmones para colocarlos en incubación con 6 ml de medio Eagles. A las 48 hs se centrifugaba cada muestra probándose la esterilidad del sobrenadante y guardándose a -20°C. hasta el momento de uso.

CONTROL NEGATIVO DE PRUEBAS DE MGI. Como blanco de los bicossayos se utilizó medio Eagles con LPS .

PURIFICACION Y CARACTERIZACION DEL MGI.

DIALISIS. Los medios condicionados fueron dializados en bolsas de dialisis (250-9U Sigma). La dialisis se realizó contra agua, PBS y tns (Merck), dF 8.3 2% -limolar. El periodo de dialisis fué de 96 hs a temperatura de 4°C.

CROMATOGRAFIA DE INTERCAMBIO IONICO. Se utilizó una columna E9/30 de 19 ml empacada con DEAE-Celulosa (Dietil aminoetil celulosa ND-85A7 Sigma). La muestra dializada se eluyó con tris 25 mMolar a pH de 8.5. Se utilizó un gradiente de elución de MgCl₂ de cero a .3 molar. Las fracciones de elución fueron leídas en espectrofotómetro a una absorbancia a 215 y 280 nm. Posteriormente se probaron para actividad de MGI.

CONCENTRACIÓN POR PRECIPITACIÓN CON SULFATO DE AMONIO. Después de la primera cromatografía, la porción con actividad de MGI se concentró mediante precipitación con sulfato de amonio (10 gr/20 ml). Para eliminar el sulfato de amonio, la muestra concentrada se dializó contra agua durante 48 hs. en bolsas de dialización (250-9" Sigma). Posteriormente se probó actividad de MGI.

CROMATOGRAFIA EN ULTRAGEL. La muestra concentrada y dializada fue pasada por una columna E9/30 de 19 ml empacada con ultragel ACA 54 (para pesos moleculares 50 000 - 70 000, LKB). La elución se realizó en tris 25 mMolar a un pH de 7.7. Las porciones recogidas fueron leídas en absorbancia a 215 y 280 nm.

ULTRACENTRIFUGACION. El MGI de la columna de ultragel fue sometido a ultracentrifugación utilizando gradientes de densidad de sacarosa de 5 a 20% utilizando un formador de gradientes de 18 a 98%. Se obtuvieron soluciones límite de sacarosa en tris 37.5 mMolar de 28% y 5%. El pH fue de 7.7 y la temperatura de 4°C. La centrifugación se realizó en una centrifuga con rotor SW 50 durando 11 horas a 100 000 g.

C I N C O . R E S U L T A D O S

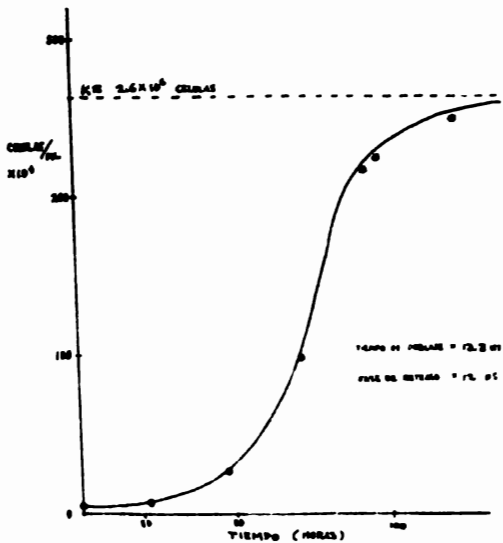
CINETICA DE CRECIMIENTO DE LAS LINEAS LEUCEMICAS. Las gráficas 1 y 2 representan las curvas de crecimiento de las líneas J774 y WR19M.1. Se puede apreciar que la velocidad de crecimiento es similar (comárese los tiempos de dobleje respectivos). Existe, sin embargo, una diferencia notable en las fases de retraso, y como resultado la línea WR19M.1 presenta un crecimiento aparente mayor. También se puede apreciar un valor de K algo mayor.

EFFECTO DEL LPS SOBRE LAS LINEAS LEUCEMICAS. Los criterios tomados para la elaboración de las tablas 4 se basan en el hecho de que las endotoxinas provocan mayor adherencia de muchas líneas celulares y que estas adoptan formas alargadas, . El LPS se añadió en fase de retraso y en la parte de crecimiento logarítmico, con resultados similares. Se puede apreciar en las tablas la adherencia progresiva de las células al aumentar la dosis de LPS, sobre todo en la línea WR19M.1. En las dos líneas la dosis de 100 mcg/ml resultó ligeramente tóxica para las células.

Se apreció también una progresiva acidificación del medio (amarilleamiento del indicador rojo fenol) con respecto al aumento de dosis de LPS. Esta acidificación se retraza al proveer medio sin suero, probablemente porque así detenemos el crecimiento celular.

La cuantificación del crecimiento celular en relación con la curva de LPS se representa en las gráficas 3 y 4.

grafica 1



CURVA DE CRECIMIENTO DE LA LINEA J774

Datos obtenidos de promedios dos experimentos similares, con una concentración inicial de células de 4×10^6 células por mililitro en las condiciones escritas en el método. La curva en su parte exponencial se describe por la ecuación:

$$N = N_0 e^{kt}, \text{ donde}$$

N = número de células

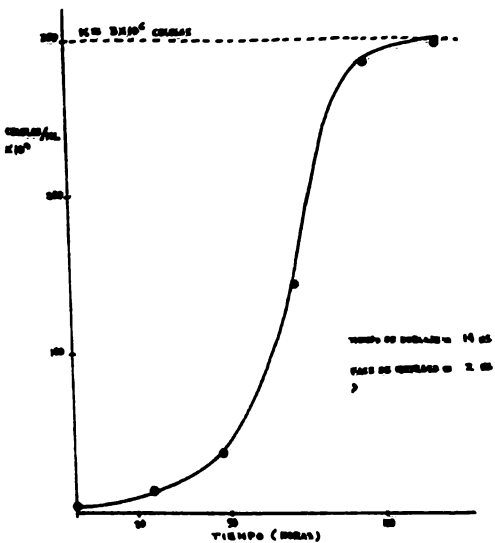
N_0 = número inicial = 4×10^6 cél/ml

k = tasa de crecimiento = .032

t = tiempo

K = capacidad de carga de volumen

gráfica 2



CURVA DE CRECIMIENTO DE LA LINIA ERIGEN.1

Datos obtenidos de promedios de 2 experimentos similares, en platos por duplicado, con una concentración de células de 4×10^6 células/ml en las condiciones de cultivo descritas en el método.

$y = .008$

para abreviaciones ver la gráfica 1

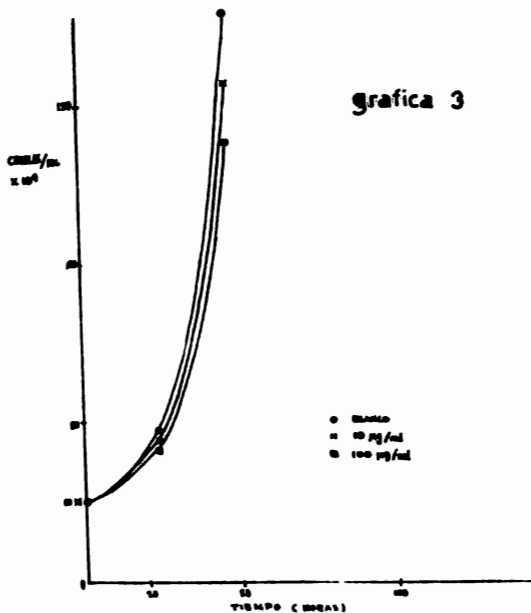
TABLA 4 Efecto del LPS sobre las líneas celulares (a)

| LÍNEA | CONCENTRACIÓN DE LPS (μgr/ml) | ADHERENCIA (%) de cél. adheridas | FORMA (%) de cel. redondas | REVICIRAD (%) de cel. muertas |
|---------|------------------------------------|-------------------------------------|-------------------------------|-------------------------------|
| J774 | .1 | 50 | 90 | <1 |
| | 1.0 | 60 | 90 | <1 |
| | 10.0 | 50 | 90 | <1 |
| | 100.0 | 50 | 90 | 5 |
| | Blanco | 10 | 95 | <1 |
| VR19M.1 | .1 | 80 | 90 | <1 |
| | 1.0 | 90 | 90 | <1 |
| | 10.0 | 90 | 90 | <1 |
| | 100.0 | 90 | 90 | 10 |
| | Blanco | 20 | 95 | <1 |

a Según resultados a las 48 hs de aplicación de cada dosis de LPS, con una concentración de células inicial de 3×10^5 células /ml. a partir de promedios de dos experimentos en platos por duplicado para cada caso.

b Se tomaron como células muertas todas aquellas no adheridas y que no tenían forma redondeada.

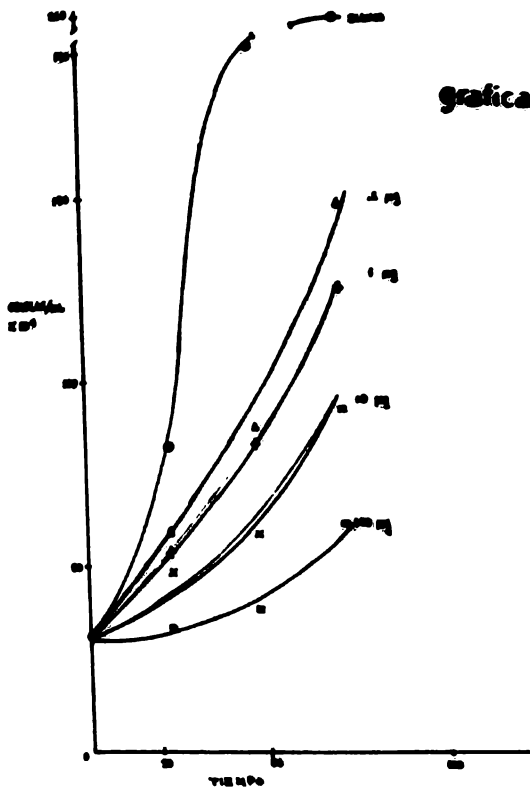
grafica 3



EFFECTO DE DISTINTAS DOSIS DE LPS SOBRE EL CRECIMIENTO DE LA LINEA J774.

Grafica segun datos tomados del promedio de dos experimentos similares en platos por duplicado. La concentración inicial de células fue de 2.6×10^3 células/ml. Por claridad no se grafican los valores correspondientes a 1 y 10 µg/ml: 2.6×10^3 , 4.3, 19.9 y 2.4, 4.9, 15.9 células por ml respectivamente, para 0, 24 y 48 horas.

grafica 4



EFFECTO DE DISTINTAS DOSIS DE LPS SOBRE EL CRECIMIENTO
DE LA LINEA WR19M.1

Grafica según datos obtenidos del procedimiento de dos experimentos similares en platos por duplicado. La concentración inicial de células fue de 3×10^6 cel./ml.

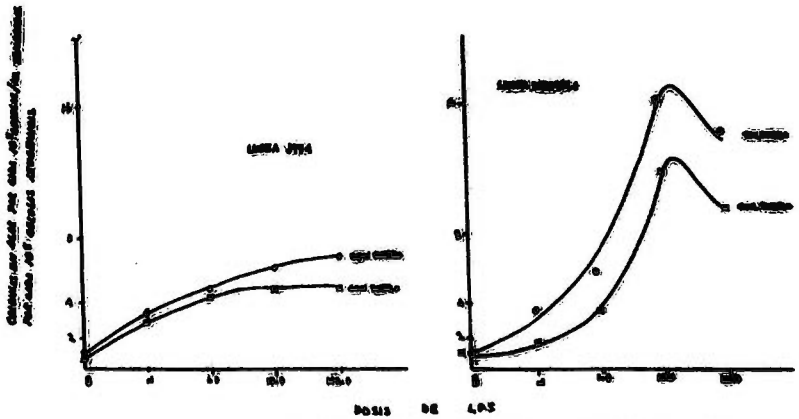
Como se aprecia en las gráficas 3 y 4, el efecto del LPS - es notablemente distinto en las dos líneas. En la línea - J774 el crecimiento es afectado mínimamente. En cambio en la línea WR19M.1 la tasa de crecimiento es notablemente menor, y proporcional a la dosis. Esto puede ser interesante desde el punto de vista de nuestros objetivos, ya que si - las células detienen su crecimiento, la energía metabólica podría ser dirigida a la producción y excreción de sustancias, entre ellas el MGI.

RELACION ENTRE PRODUCCION DE MGI Y DOSIS DE LPS. Se determinó la cantidad de MGI producida por las líneas J774 y WR 19M.1 con base en la producción de colonias en agar al incubar los medios condicionados con precursores de módula - osa. La gráfica muestra esta producción en relación con la dosis de LPS y la incubación con y sin suero. Se puede apreciar lo siguiente:

- 1- La dosis más efectiva es de 10 mcg/ml de LPS en las dos líneas.
- 2- En ambos casos la producción de MGI con suero es mayor. Es lógico si se piensa que con suero las células siguen creciendo.
- 3- La línea WR19M.1 es productora espontánea de una cantidad pequeña de MGI. También resulta la más impulsada con la adición de LPS. La línea J774 no produce espontáneamente MGI y - si lo produce con LPS (tal y como se reporta en la referencia 33) aunque en menor cantidad que la otra línea.

Dentro a que el número de células varía según la dosis de LPS y a la presencia o ausencia de suero (como se señala en -

graffica 6



DEPARTAMENTO DE CIENCIAS SOCIALES Y ECONOMICAS

Resaltóse la tendencia de aparecer de dos enfermedades similares en número y magnitud, una igual a la de la etapa anterior. El efecto de este tipo tuvo mayor importancia en el total de casos adquiridos al final de la epidemia.

el punto 2), la gráfica anterior no nos evidencia la producción de MGI por célula leucémica. Este problema se subsana en la gráfica de producción de MGI contra número de células leucémicas, (gráfica 6). De esta se observa:

- 1- La producción de MGI por ambas líneas es mayor en medio sin suero.
 - 2- La línea WR19W.1 es aún más efectiva considerando producción de MGI por célula.
 - 3- En la línea J774 la mejor producción por célula es con dosis de 100 mcg/ml de LPS, aunque es siempre inferior a la línea WR19W.1.
- Con base en los resultados se escogió la línea WR19W.1 en incubación sin suero con 10 mcg/ml de LPS.

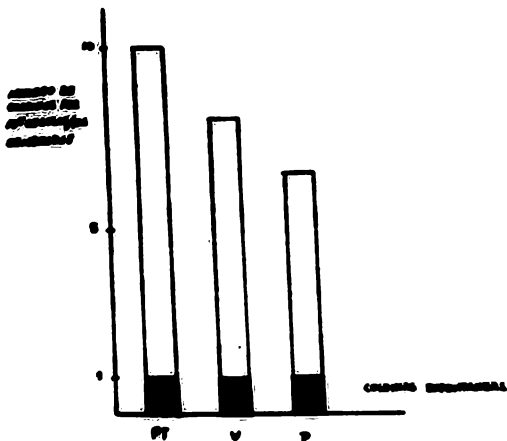
ELECCION DE RECIPIENTE DE CULTIVO. Se compararon tres tipos de platos de cultivo, midiendo producción de MGI en las condiciones ya seleccionadas. Los resultados se presentan en la gráfica 7.

La mayor producción de MGI correspondió al medio condicionado de las cajas Falcon. Estas cajas poseen una superficie tratada que aumenta la adherencia celular, lo que sugiere una relación entre adherencia y producción de MGI.

RELACION EFECTO-DOSESIS. La gráfica 8 relaciona la producción de MGI con la cantidad de muestra aplicada por caja.

Se utilizó una cantidad de muestra subóptima, de 5%, para evitar problemas de inhibición de crecimiento de colonias.

grafica 7



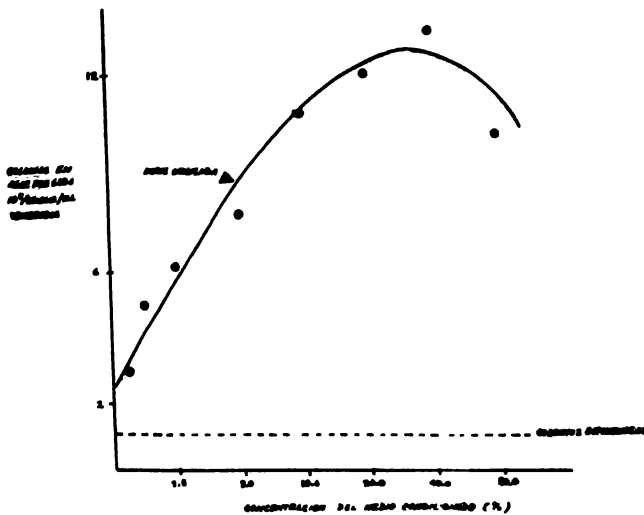
TIPO DE RECIPIENTE

PRODUCCION DE ROI POR LA LINEA WR19N.1 EN DISTINTOS RECIPIENTES

Los resultados son el promedio de dos experimentos similares en platos por duplicado, con una concentración inicial de células de 3×10^5 col/ml, una dosis de LPS de 10 $\mu\text{g}/\text{ml}$. Las demás condiciones como en la gráfica 5.

Abreviaciones: PT = platos petri con superficie tratada (Falcon 3502, 40mm)
 V = platos petri de vidrio (Pyrex 60x15mm)
 P = platos petri plásticos (Corning 2502)

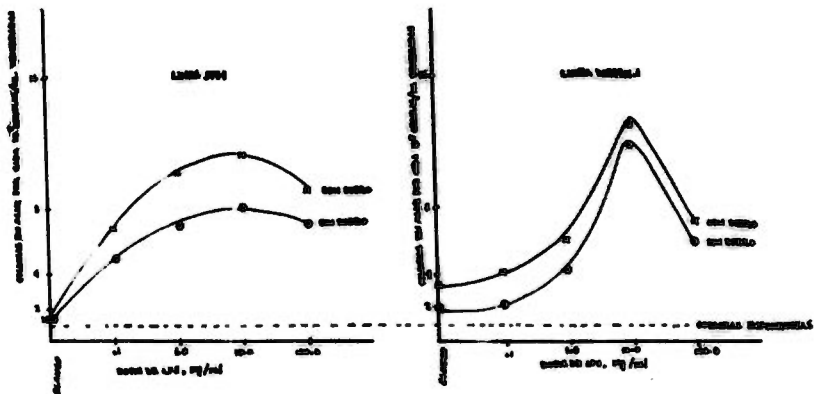
grafica 8



RELACION ENTRE LA CONCENTRACION DE MEDIO CONDICIONADO AL TRIPSINA Y LA CONTRACCION DE HCT

Datos correspondientes al medio condicionado de la fibra *vitellina* con una concentración de 10^{-4} mg/ml de TPB, sin suero, en el que la contracción inicial de 3×10^6 células/ml en incubación por 4^o hs. El porcentaje representa la proporción de medio condicionado en cada plato de cultura (sea en agua o en suero). Los datos corresponden a los experimentos similares en fibra *vitellina* tripinizada.

grafica 5



FRECUENCIA DE COLONIAS POR LAS LÍNEAS EPITELIALES EN DIFERENTES DOSIS DE LPS.

Resultados obtenidos en procedimientos de dos experimentos similares, en platos por duplicado bajo las siguientes condiciones: Concentración inicial de 3×10^6 células por ml, con grasa = la fracción de LPS respectiva, incubando 48 hs. Tensión en el voltímetro = 10 milivoltios. Se aplicó a las células adheridas a los platos radio trazador con \approx 1000 cpm = una cuarta parte de LPS. El ensayo de PFT es en forma de colonias de \approx 1000 células que se miden en el microscopio en cultivos de placa. Sección de agar, peso = un cuarto de gramo.

TABLA 5 RESUMEN DE LAS CONDICIONES OPTIMAS DE PROTECCION DE MOI Y CONCENTRACION USADA PARA BICENSAYOS

| | |
|-------------------------------------|--|
| Línea de mayor producción (a) | WR19N.1 |
| Dosis de LPS | 10 mcg/ml (b) |
| Número inicial de células | 3×10^5 células/ml |
| Procedimiento de incubación | 48 hs. con suero, lavado, 48 hs. sin suero (c) |
| Tipo de recipientes para incubación | Platos Petri desechables Falcon |
| Concentración usada para bicensayos | Subóptima, 5% de muestra (d) |

a Medida por el sobremadurante que produjo más colonias en azar. Incluye con y sin LPS.

b Se refiere a la línea WR19N.1, que fué la seleccionada.

c Ver la sección de material y método.

d Pasada en la curva efecto-dosis. La óptima fué de 40 %.

PURIFICACION Y CARACTERIZACION DE MGI

DIALISIS. El medio condicionado fué dializado contra agua destilada a pH 7.0, contra solución buffer de fosfatos (PPG) a pH 7.2 y contra tris a pH 8.5. Ninguno de estos líquidos produjo un precipitado importante, ni aumentó la eficiencia de producción de MGI por el dializado significativamente. Se eligió tris por ser el eluyente en los pasos siguientes de cromatografía.

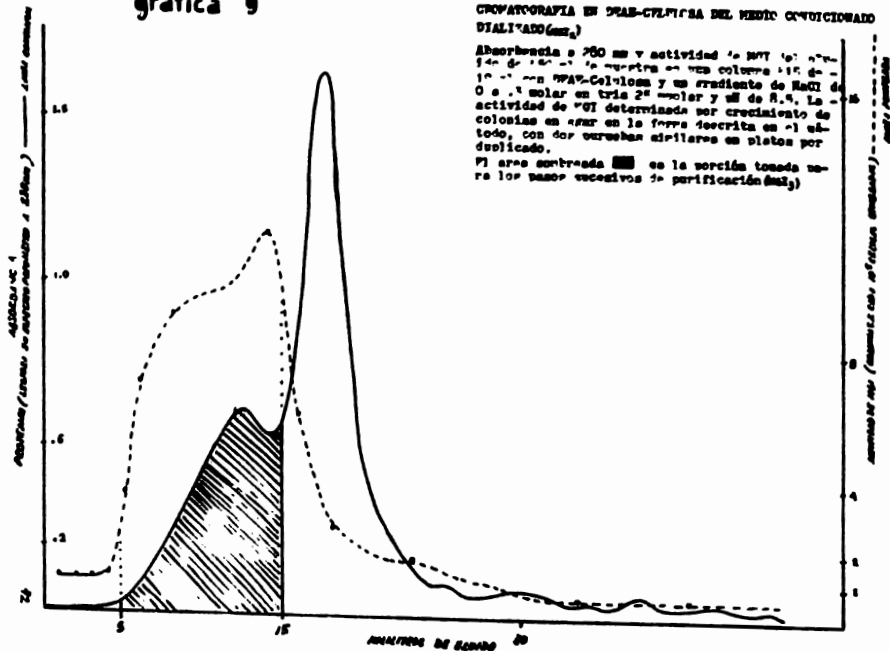
CROMATOGRAFIA DE INTERCAMBIO IONICO CON DEAE-CELULOSA. La cantidad de proteína y la actividad de MGI de las fracciones de esta cromatografía se representan en la gráfica 9.

El pico mayor de proteína corresponde a la albúmina del suero fetal, lo que muestra que el método de lavado no remueve todo el cuero y que el "medik sin suero" no lo es tanto. Se obtuvo un solo pico de actividad de MGI, correspondiente a 20 ml, mismo que se tomó para continuar la purificación.

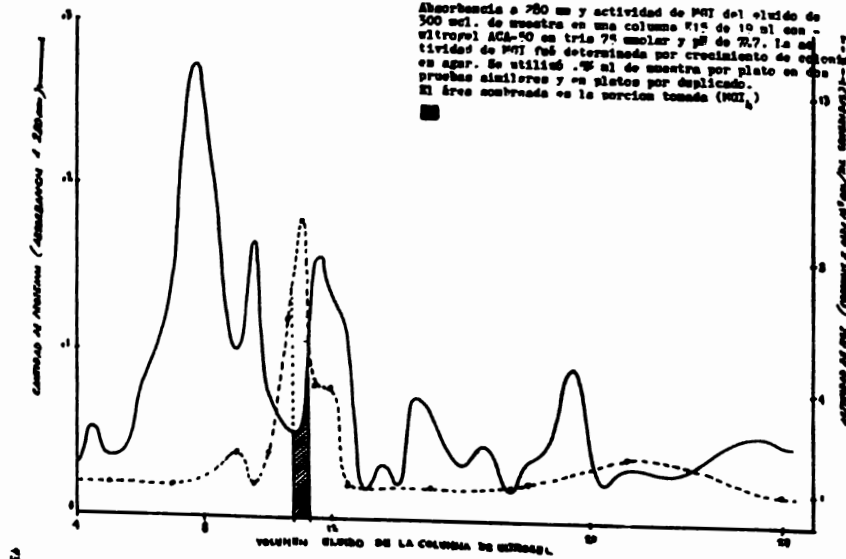
CONECTRACION CON SULFATO DE AMONIO. La fracción de la cromatografía en DEAE-Celulosa (MGI_4) fué concentrada 12.5 veces por precipitación con sulfato de amonio y dializada para eliminarlo. Una vez concentrado y dializado se midió actividad de MGI, comprobándose que ésta no se alteró con el procedimiento.

FILTRACION CON ULTROFIL. La muestra concentrada y dializada (MGI_4) fué pasada por la columna de ultrafiltración ACA 54. La elución de la columna se representa en la gráfica 10, tanto en cantidad de proteína como en actividad de MGI.

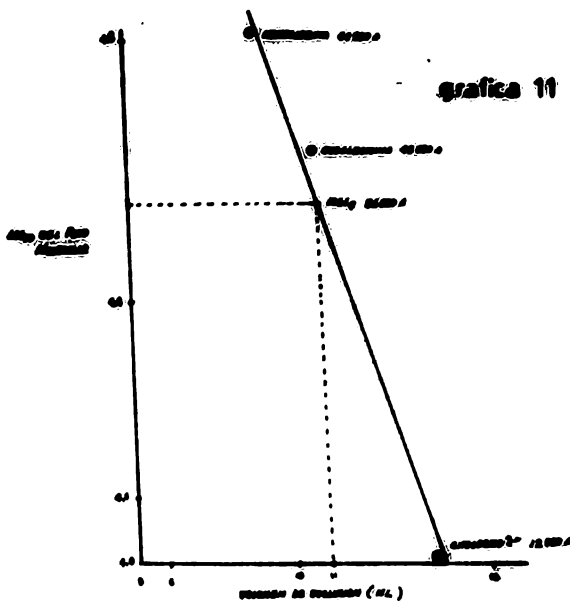
grafica 9



grafica 10



Gráfica 11



CALIBRACION PARA DETERMINACION DEL PESO MOLECULAR DEL PGI.

Este calibración fué realizada en condiciones iguales a las descritas en la gráfica 10, utilizando hemorribina, ovocalbúrina y citocromo C como proteínas de referencia de peso molecular conocido. El peso molecular del PGI se determinó comparando la fracción de mayor actividad de la elución de ultracentrifugado con la col. una de calibración.

En esta grafica se aprecia de nuevo un solo pico de actividad de MGI. Esta porción de .5 ml fué comparada con una calibración previa de la columna de ultrrogel, bajo idénticas condiciones, con proteínas de peso molecular conocido; Hemoglobina, Ovoalbúmina y Citoerrocromo C. La comparación de MGI_g con la calibración se muestra en la gráfica 10. El peso molecular así determinado corresponde a -- 36 000 Dalton'--

"ULTRACENTRIFUGACION. Se tomó una porción de ml de las fracciones eluidas en ultrrogel y se sometió a ultracentrifugación en gradientes de sacarosa en tris con soluciones límite de 28 y %. Se centrifugó 11 hs a 295 000 g con un standard interno de hemoglobina. Las fracciones obtenidas fueron leídas en cuanto a absorbancia a 430 nm y a actividad de MGI. Grafica 12.

Conociéndose el coeficiente de sedimentación (4.4) de la Hemoglobina, la fracción en que se obtuvo (14) y la -- fracción correspondiente al MGI,(9) se calculó un coeficiente de sedimentación para este último de 2.9. Si asumimos que se trata de moléculas esféricas podemos calcular el peso molecular según la relación $\frac{CD_{MGI}}{CD_{Hb}} = \frac{PM_{MGI}}{PM_{Hb}}$, donde CD_{Hb} = coeficiente de sedimentación de la Hb, 4.4

CD_{MGI} =coeficiente de sedimentación del MGI, 2.9

$PM_{Hb} = 64\ 000$ Daltonas

$PM_{MGI} = 34\ 000$ Daltonas al despejar la fórmula.

grafica 12

ELABORACION Y FRACCIONACION DE UNA GOMA GRADIENTE INTERIOR DE "BIOCERNA".

Absorbancia a 410 nm y actividad de MGI de una muestra de "el" de MGI sometida a gradientes de sacárosa de 5 a 20% en trío 57,4 molal a -2°C de 7,2 y a 6° de temperatura. La centrifugación se realizó durante 11 hr a 40'000 rpm.

La relación entre el coeficiente de sedimentación y la fracción de centrifugación es de proporcionalidad directa. Corrigiendo el peso molecular de la hemoglobina y su coeficiente de sedimentación se calculó el de MGI.

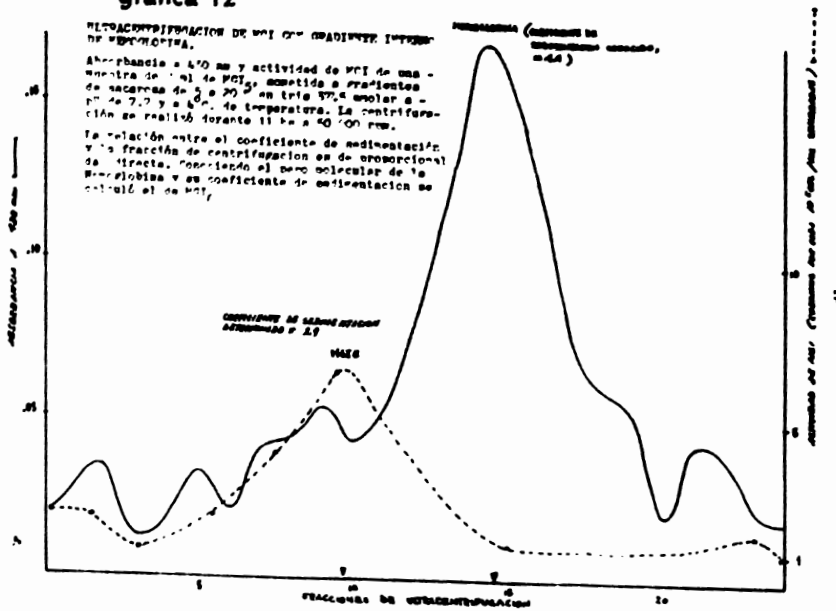


TABLA 6 ETAPAS DE PURIFICACION^a Y PESO MOLECULAR DEL VPH

| ETAPA | PESO MOLECULAR M _n | PRECIPITADA mg/ml | ACTIVIDAD colinas/ml en suero | ACTIVIDAD VPH-VITIC colinas/ml suero |
|--|----------------------------------|----------------------|-------------------------------------|--|
| 1- Medio condicionado | 500 | 22 | 1% | 7.7% |
| 2- Disilizado | 500 | 20 | 144 | 7.80 |
| 3- Cromatografía HPLC-Selcción | 27 | 37 | 140 | 22.22 |
| 4- Precipitación con TCA 5% y diisóxido | > | 400 | 11440 | 22.22 |
| 5- Filtración ultronal AFG 5% (b) | 6 | 10 | 1120 | 140. - |
| 6- Ultracentrifugación (c) | 1.5 | - | 1400 | - |

a) El criterio de purificación fue la actividad "colinas suero".

b) Peso molecular: 12 000 daltonos.

c) Purificada a partir de 2 ml del suero de la columna de ultronal. Esto es un efecto independiente de determinación de peso molecular que muestra que una etapa de centrifugación, Peso molecular: 14 000 daltonos.

S E I S . D I S C U S I O N

urante el proceso normal de diferenciación, las células van adquiriendo las funciones específicas que las caracterizan. En muchas células estas funciones incluyen la producción de MGI. En células neoplásicas, como lo son -- las líneas celulares analizadas en este trabajo, este proceso de diferenciación se ha detenido en un punto determinado, y de esto dependerá que produzcan o no sustancias diferenciadoras.

Un criterio de diferenciación, además de la producción de sustancias específicas, lo puede constituir la rapidez de crecimiento y el comportamiento de las células en cultivo. El crecimiento en cultivo masivo de las líneas J774 y WR19W.1 es similar en velocidad (comparense los tiempos de duplicación en cada caso, gráficas 1 y 2). Existe en cambio diferencia mayor en las fases de retraso, siendo en la línea J774 mayor este periodo. Sin embargo, la diferencia entre las dos líneas es grande bajo el efecto de LPS. La línea -- WR19W.1 es más sensible a la endotoxina, deteniendo su crecimiento proporcionalmente a la dosis y aumentando la adhesividad al sustrato y la forma alargada. En la línea J774 - la responsividad al LPS es mínima (ver tablas 4 y gráficas 3 y 4). ¿Significa este resultado que la línea WR19W.1 es más diferenciada? En condiciones normales (37°) las células responden a la acción del LPS produciendo elevadas cantida-

des de MGI. Sugiero que una línea de más respondiente a las endotoxinas puede producir mayores niveles de MGI en condiciones *in vitro*. Esto puede así mismo corresponder a una mayor adhesión al sustrato, cuestión que será discutida posteriormente.

PRODUCCIÓN DE MGI. Durante este trabajo se comprobó (graf. 5 y 6). Que la línea J774 no produce MGI espontáneamente, pero lo produce al incubarsele con LPS. Esto coincide con lo reportado (33), aunque el nivel producido en nuestro caso es más bajo. Esto puede atribuirse a una transformación de la línea durante su transporte y cultivo o bien a ~~las~~ - condiciones propias de producción de MGI. En cuanto a la línea WR19M.1, se comprobó que produce MGI espontáneamente y que esta producción se incrementa mediante la adición de LPS (gráficas 5 y 6). No se encontraron diferencias de que esta línea haya sido probada para producción de MGI anteriormente.

Al respecto podemos suponer que la línea J774 fue detenida en su camino de diferenciación justo antes de que adquiriera la capacidad de producir MGI, pero puede ser "empujada" hacia la producción por medio de LPS, aún siendo poco sensible a la endotoxina. En cambio, la línea WR19M.1 habría sido transformada después de haber adquirido la capacidad de producir MGI, siendo más sensible a la acción de las endotoxinas, que incrementarían aún más sus niveles de MGI. De esto se concluye que desde el punto de vista de producción de MGI, es más conveniente usar una línea que lo produzca espontáneamente, e incrementar la producción con endotoxinas.

Se observó además que la relación dosis- producción de MGI es proporcional hasta cierta dosis, decreciendo luego la producción de proteína diferenciadora. Este decremento -- está relacionado probablemente con la toxicidad del LPS -- (ver tabla 4 y gráficas 5 y 6). La dosis óptima en este -- trabajo fué de 10 mcg/ml, para estimulación de actividad diferenciadora. En la literatura se reportan dosis estimulatorias *in vitro* que van de .1 mcg/ml a 100 mcg/ml (--- 10, 24, 33), aunque hay que aclarar que en este caso nos interesa la dosis óptima y no la mínima o máxima estimulatorias. Señalemos también que en la incubación se utilizó el siguiente procedimiento: incubación de las líneas con LPS en presencia de suero, lavar el medio, incubar 3 - días más con LPS sin suero. Se observó que la segunda "pas- s" era más efectiva en producción de MGI. Suponemos que esto se debe a que en ausencia de suero las células de- tienen su crecimiento, y en el cambio metabólico que esto - implica producen y secretan más sustancias al medio, entre ellas, más MGI.

Retomemos ahora la suposición hecha anteriormente de que la mayor adherencia al sustrato colleva una mayor produc- ción de MGI. Se realizaron pruebas de producción de MGI com- parando platos petri con superficie tratada, platos de vidrio y platos plásticos sin superficie tratada. La adherencia -- celular es descendiente al orden mencionado, y la produc- ción de MGI también lo es (ver África 7). Este hecho sumado al resultado de que la línea más adherente y la dosis de LPS con mayor adherencia provocan, nos hacen concluir que la

suposición hecha es verídica.

PURIFICACIÓN DE MGI. Hasta el momento no se ha reportado la purificación y caracterización de MGI producido por una línea leucémica estimulada con LPS. De aquí que resulte interesante comparar los métodos y resultados obtenidos en este trabajo con purificaciones de otras fuentes de MGIs.

La diálisis ha sido utilizada con éxito (29) para eliminar inhibidores asociados frecuentemente a las moléculas de MGI, dando como resultado una mayor actividad diferenciadora en los medios dializados. En este trabajo la diálisis en ~~varios ensayos~~ no dió este aumento de actividad de MGI, de donde concluimos que no existen inhibidores en nuestro preparado, o bien que estos están unidos al MGI de manera covalente. Podemos afirmar que la diálisis no fué significativa como paso de purificación.

La cromatografía de intercambio iónico ha sido reportada (29) como un método que da un pico de actividad biológica amplio y que la ganancia de actividad es baja. Durante este trabajo se obtuvo con DEAE-Celulosa un pico de actividad de MGI único y bastante definido (ver gráf. a). Más adelante discutiremos como podemos relacionar esto con nuestra fuente de MGI. Esta técnica reveló, por otra parte, la presencia de cantidades considerables de suero del medio de cultivo, que se pega a las células e al plato de cultivo de modo que no es removido por el proceso de lavado. Sugerimos utilizar -- previo ensayo otras formas de obtención del medio condicionado que impliquen una mayor "limpieza" de proteínas contaminantes.

En la filtración con ultrogel se encontró de nuevo un solo pico definido de actividad de MGI. Este método ha sido ampliamente utilizado para la purificación de este tipo de proteínas, aunque la determinación de pesos moleculares por él puede conducir a valores erróneos en preparaciones impuras (29). En este trabajo se obtuvo un peso de 36 000 Daltones.

Se utilizó además otro método para determinar el peso molecular, la ultracentrifugación en gradientes de sacarosa, obteniendo un valor para el MGI_c de 34 000 Daltones. El grado de aproximación de este peso con el obtenido por ultrogel es aceptable.

Durante todo el proceso de purificación se logró un incremento de 26 veces en actividad biológica por mg de proteína. No se utilizaron otros criterios de pureza como la electroforesis, ya que la cantidad de MGI es tan pequeña que la hace inviable a este tipo de técnicas.

Como se ha señalado, el peso molecular obtenido en este trabajo es del rango de 34 000 y 36 000 Daltones. Este valor es similar al reportado por varios investigadores, entre ellos el de medio condicionado de pulmón de ratón, 30 000 Daltones de Purguesas (47), el de Pojo (41), de 40 000 después de filtración con Sephadex de medio de pulmón humano o de 30 000 para inductores de granulocitos y macrófagos humanos usando filtración en sales, (29).

Sin embargo, la mayoría de los autores mencionados, y además otros que reportan pesos muy distintos (27, 28) señalan la aparente presencia de varias proteínas diferenciadoras - en los preparados. Ya hemos señalado que en el caso de esta purificación de MGI proveniente de líneas leucémicas, se obtuvieron siempre picos únicos y definidos en las técnicas - de purificación. Suponemos que esto se debe a que la producción de MGI fue realizada por un solo tipo celular, al tratarse de una línea celular clonada y por tanto, uniforme. - Es posible que en el caso de MGIs preparados a partir de tejidos, varias células de tipos diferentes produzcan cada - uno MGIs específicos y que los valores coincidentes de MGI reportados correspondan a células como las utilizadas para este trabajo.

SUGERENCIAS. Del presente trabajo se la producción masiva - de MGI a partir de líneas leucémicas incubadas con LPS es, viable, recomendándose el estudio de un número mayor de - líneas y utilizando aquellas que producen MGI espontánea-- mente. El incremento de MGI también puede lograrse median- te la producción de clones más activos a partir de las -- mismas líneas. Es de desecharse que la producción de MGI se - lleve a cabo en mayor escala, lo que permitiría un estudio detallado de este tipo de sustancias y su posible apli- cación con fines terapéuticos

- 1- Paul,J.(1973). Cell and Tissue Culture. 4 ed. Churchill Livingstone.Londres.
- 2- Lehninger,A.(1975). Biochemistry. 2 ed. Worth. Nueva York.
- 3- Sachs, L.(1964) New Perspectives in Biology. Elsevier. Amsterdam. p.246.
- 4- Hsu, B; McKeehan,W.(1979) Media and Growth Requirements. - En Methods in Endocrinology. Vol LVII. Academic Press. Nueva York.
- 5- McLimans,W;(1979) Mass Culture of Mammalian Cells. En Methods in Endocrinology. Vol LVIII. Academic Press. Nueva York
- 6- Lieberman, M; Mavligit,G.(1978) Progresos Recientes en Oncología. I.M.S.S. México.
- 7- Fibach,E;Landau,T; Sachs,L.(1972) Normal Differentiation of Myeloid Leukemic Cells Induced by a Differentiation-inducing Protein. Nat.New Biol. Sc. U.S. 70:343.
- 8- Eaves,A; Bruce,W. (1973) In Vitro Production of Colony-stimulating Activity: I. Exposure of Mouse Peritoneal Cells to Endotoxin. Cell Tissue Kinet. 7:19.
- 9- Parker, J; Metcalf,D. (1973) Production of Colony-stimulating Activity in Mitogen-stimulated Lymphocyte Cultures Jour. Immunol. 112:502.
- 10- Cline, M; Rothman,B; Golde, D. (1974) Effect of Endotoxin on the Production of Colony-stimulating Factor by Human Monocytes and Macrophages. J.Cell Physiol. 84:193.
- 11- Sheridan, J; Metcalf,D; Stanley, E. (1974) Further Studies on the Factor in Lung-conditioned Medium Stimulating Granulocyte and Monocyte Colony Formation In Vitro I. Cell Physiol. 84:147.
- 12- Pastan, I. (1979) Cell Transformation. En Methods in Endocrinology. Vol LVIII. Academic Press. Nueva York.
- 13- Lotem, J; Sachs, L. (1975) Control of Normal Differentiation of Myeloid Leukemic Cells: VI. Inhibition of Cell-Multiplication and the Formation of Macrophages. J.Cell Physiol. 85:987.

- 14- Pibach, E; Sachs,L. (1975) Control of Normal Differentiation of Myeloid Leukemic Cells: VIII. Induction of Differentiation to Mature Granulocytes in Mass Culture. *J. Cell Physiol.* 86:221.
- 15- Sachs,L. (1976) Control of Normal Cell Differentiation - in Leukemic Cells. Comparative Leukemia Research Bibl. Hemat. 63;
- 16- Stanley,E; Hansen,G; Woodcock,J; Metcalf,D. (1975) Colony Stimulating Factor and the Regulation of Granulopoiesis and Macrophage Production. *Fed. Proc.* 34:2272.
- 17- Metcalf,D; Wilson,J.(1976) Endotoxin-induced Size Change in Bone Marrow Progenitors of Granulocytes and Macrophages. *J. Cell Physiol.* 89:381.
- 18- Lotem,J; Sachs,L. (1977) Genetic Dissection of the Control of Normal Differentiation in Myeloid Leukemic Cells Cell Biology. 12:5554.
- 19- Maeda,S; Sachs,L (1978) Control of Normal Differentiation of Myeloid Leukemic Cells: XIII. Inducibility for Some Stages of Differentiation by Dimethylsulfoxide and its Disassociation from Inducibility by MGI. *J. Cell Physiol.* 94:181.
- 20- Defendi, V. (1976) Macrophage Cell Lines and Their Uses in Immunobiology. In Immunobiology of the Macrophage. Academic Press. Nueva York. P.275.
- 21- Ball,F; Rosedal,M. (1978) Macrophage Colony Development: Properties of Colony Stimulating Factors from Murine Embryo and Pregnant Uterus. *Immunology.* 34:479.
- 22- Weiss,B; Sachs,L.(1978) Differences in Surface Membrane Ecto-ATPase and Ecto-AMPase in Normal and Malignant Cells and the Independent Regulation of Ecto-ATPase and Ecto-AMPase. *J. Cell Physiol.* 93:183.
- 23- Motoyoshi, K; Takaku,F; Mizoguchi,H; Miura,T. (1978) Purification and Some Properties of Colony-stimulating Factor from Normal Human Urine. *Blood.* 51:1012.
- 24- Stewart,C; Lin,R. (1978) Macrophage Growth Factor and its Relationship to Colony Stimulating Factor. *J. Reticuloendothel.Soc.* 4:269.
- 25- Maynard, J. (1977) Ideas Matemáticas en Biología. C.E.C. S.A. México. p. 274
- 26- Williams, F; Plusnik,D. (1977) Differences in the Proliferation Density Characteristics in Murine Granulocyte-Progenitor Cells Cloned in the Presence of Serum and/or Fetal Isolate. *Exp. Hemat.* 6:383.

- 27- DiPersio,J; Brennan,J; Litchman,P.(1978) Granulocyte — Growth Modulators Elaborated by Human Cell Lines. In "Hematopoietic Cell Differentiation". Academic Press. Nueva York. p.
- 28- Williams, " ; Eger,R. (1978) Purification and Characterization of Clonable Murine Granulocyte-macrophage Precursor Cell Populations. In "Hematopoietic Cell Differentiation". Academic Press. Nueva York. p.
- 29- Burgess, A; Metcalf,D; Niclou,S; Russell,S.(1978) Purification and Characterization of Cell Specific Colony Stimulating Factors. In "Hematopoietic Cell Differentiation". Academic Press. Nueva York. p.
- 30- Moore, ". (1978) Regulation of Granulopoiesis In Vitro. In "Hematopoietic cell Differentiation". Academic Press. - Nueva York. p.
- 31- Price,G; Roserud,R; Stewart,S; Senn,J. (1978) Heterogeneity of Colony Stimulating Activities. In "Hematopoietic Cell Differentiation". Academic Press. Nueva York. p.
- 32- Stanley,E; Metcalf,D. (1971) The Molecular Weight of Colony Stimulating Factor. Proc. Soc. Exp. Biol. Med. 137:1029.
- 33- Ralph,P; Broxmeyer,H; Moore,F; Makinson,I.(1978) Induction of Myeloid Colony Stimulating Activity in Murine Monocyte Tumor Cell Lines by Macrophage Activators and in a T-Cell Line by Concanavalin A. Cancer Research. 38:1414.
- 34- Patterson, M.(1979) Measurement of Growth and Viability of Cells in Culture. In "Methods in Enzymology". Vol LVIII Academic Press. Nueva York. p.
- 35- Bronting, S. (1974) Some Investigations on the Relation Between Growth and Carbohydrate Metabolism. Anat. Rec. 178:445.
- 36- Gemmill,G; Gey,G; Austrian, D. (1940) The Metabolism of Tissue Culture in Walker Rat Sarcoma 319. Johns Cook. Res. Bull. 66:167.
- 37- Gmeiner,J; Luderitz,O; Westphal,C.(1969) Biochemical Studies on Lipopolysaccharides of Salmonella R Mutants. 7:370.
- 38- Nelson, W. (1978) In "Immunobiology of the Macrophage". Academic Press. Nueva York. p.17.
- 39- Bradley, T; Metcalf,D; Robinson,P.(1967) Stimulation by Leukaemic Sera of Colony Formation in Solid Agar Cultures by Proliferation of Mouse Bone Marrow Cells. Nature. 213:926.
- 40- Bradley,T; Metcalf, P. (1966) The Growth of Mouse Bone Marrow Cells In Vitro. Aust.J.Exp.Phys.Med.Sci. 44:287.

- 41- Landaz,T; Sachs,L.(1971) Characterization of the Inducer Required for the Development of Macrophage and Granulocyte Colonies. *Proc.Nat.Acad.Sci.* 68:234.
- 42- Bradley,T; Stanley,E; Summer,M.(1971) Factors from Mouse Tissues Stimulating Colony Growth of Mouse Bone Marrow - Cells in Vitro. *Aust.J.Exp.Biol.Med.Sci.* 49:595.
- 43- Stanley, E; Robinson,W; Ada,G.(1968) Properties of Colony Stimulating Factors in Leukemic and Normal Mouse Serum. *Exp.Biol.Med.Sci.* 46:715
- 44- Mintz,J; Sachs,L.(1974) Differences in Inducing Activity for Human Bone Marrow Colonies in Normal Granulocytic -- Colonies by Mouse Bone Marrow Cells In Vitro. *J.Cell.Physiol.* 84:275.
- 45- Sheridan,J; Metcalf,D. (1983) The Bone Marrow CSF relation of Serum CSF to Urine CSF. *Proc.Soc.Exp.Biol.Med.* 144
- 46- Metcalf,d. (1971) Acute Antigen-induced Elevation of Serum CSA Levels. *Immunol.* 21:247.
- 47- Burgess,A; Camarkaris,J; Metcalf,D. (1977) Purification and Properties of CSF from Mouse Lung Conditioned Medium
- 48- Metcalf,d. (1974) En Control of Proliferation in Animal Cells. Academic Press. Nueva York. p 887.
- 49- Price,S; McCulloch,E; Till,J. (1973) A New Low Molecular Weight for Colony Stimulating Activities. *Blood.* 42:341.
- 50- Watson, J; Prichard,J. (1972) Characterization of a Factor Required for the Differentiation of Myeloid and Lymphoid Cells in Vitro. *J.Immunol.* 108:1209.
- 51- Pojo,S; Wu,M; Gross,W; Tunis,A. (1977) The Isolation -- and Characterization of a Colony Stimulating Factor from Rumen Lung. *Biochem.Biophys.Acta.* 494:92.
- 52- Ralph,P; Nakointz,I. (1977) Direct Toxic Effects of Immnopotentiators on Monocytic, "yellowmonocytic and Reticiocytic or Macrophage Tumor Cells in Culture. *Cancer Res.* 37:546.
- 53- Lüderitz,O ; Galanos,C ; Lehmann,V ; Nurminen,M ; Ritschel, E ; Rosefelder,G ; Simon, M Wentphal,O. (1973). Lipid & Chemical Structure and Biological Activity. *Jour. of Infection Diseases*. 128:417.

O C H O . A G R A D E C I M I E N T O S

Deseo dar las gracias al Dr. Penny Weiss, del laboratorio de Diferenciación Celular de la ENEP Zaragoza, por su orientación y ayuda en todos los aspectos de la elaboración de este trabajo, incluyendo las facilidades en cuanto a equipo y materiales utilizados.

Animismo, estoy en deuda con el Dr. Mario Calcagno, - del laboratorio de Biocinética de la ENEP Zaragoza por su colaboración en todo lo relacionado a la parte biocinética del trabajo.

También agradezco al Ríb'l Jorge Pérez por su cooperación en la purificación de MG1, y a todas las personas que trabajan y colaboran en los laboratorios antes mencionados.

Finalmente, expreso mi arecio a la Dra. Luz María López de la Rosa, al Dr. Edgardo Escamilla, a la M. en C. - Martha González y a la Ríb'l. María del Carmen Gutiérrez - por la revisión crítica del manuscrito y sus útiles observaciones .

Juan José Connejo

Julio de 1980